

# Digital Image Processing

23 November 2006

**Dr. ir. Aleksandra Pizurica**

Prof. Dr. Ir. Wilfried Philips

Aleksandra.Pizurica @telin.UGent.be

Tel: 09/264.3415



## Image transforms

## Introduction to image transforms

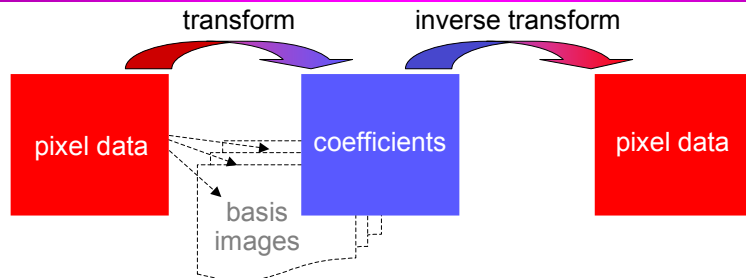


Image transform decomposes an image into **basis images**. Coefficients can be seen as weighting factors for those different “image components”

Important for compression, restoration and analysis. **For example:**

- **Compression:** define image transform such to “pack” the essential information about the image into **as few big coefficients as possible**
- **Restoration:** define image transform such that **biggest image coefficients indicate image edges**
- Other requirements can be defined for specific applications/problems

## Series expansions: bases and frames

A series expansion of a signal  $f$  from space  $S$  is

$$f = \sum_i c_i \phi_i \quad (1)$$

where the elementary **atoms** or **building blocks**  $\phi_i$  are **simple waveforms**

The set  $\{\phi_i\}_{i \in \mathbb{Z}}$  is **complete** for  $S$  if **all**  $f$  from  $S$  can be decomposed as in (1)

A **complete and linearly independent** set  $\{\phi_i\}_{i \in \mathbb{Z}}$  is **basis**

↳ yields a **non-redundant** representation of  $f$

If the set  $\{\phi_i\}_{i \in \mathbb{Z}}$  is **complete but not linearly independent** it is a **frame**

↳ yields a **redundant** representation of  $f$

## Non-redundant image transforms

Each image  $b(x,y)$  of  $MN$  pixels can be written as a linear combination of exactly  $MN$  linearly independent basis images  $p_i(x,y)$

$$\begin{array}{cc} \begin{array}{c} x \\ \hline 0 & 1 & 2 & M-1 \\ \hline 0 & \boxed{\quad} & \boxed{\quad} & \boxed{\quad} \\ \hline 1 & \boxed{\quad} & \boxed{\quad} & \boxed{\quad} \\ \hline 2 & \boxed{\quad} & \boxed{\quad} & \boxed{\quad} \\ \hline N-1 & \boxed{\quad} & \boxed{\quad} & \boxed{\quad} \end{array} & b(x,y) = \sum_{i=0}^{MN-1} a_i p_i(x,y) \quad x = 0 \dots M-1, y = 0 \dots N-1 \\ \text{MN unknown} & \text{MN equations} \end{array}$$

For given base functions  $p_i(x,y)$  we compute  $a_i$  for a given image  $b(x,y)$  by solving the set of equations

The set of equations has a unique solution for each image  $b(x,y)$   
 $\Leftrightarrow$  the basis functions are linearly independent

$$\Leftrightarrow \sum_{i=0}^{MN-1} c_i p_i(x,y) = 0 \quad x = 0 \dots M-1, y = 0 \dots N-1 \quad \text{Holds only if all } c_i = 0$$

Problem:  $0.66(MN)^3$  computations are needed  
 too slow for practical images (b.v.  $M=N=256$ )

02b.5

## Beeldtransformaties in vectornotatie

De coëfficiënten  $a_i$  bepalen éénduidig het beeld  $b(x,y)$

De omzetting  $b(x,y) \rightarrow a_i$  heet een lineaire transformatie

Soms is het nuttig de pixels van het beeld en de coëfficiënten te rangschikken in kolomvectoren  $\mathbf{b}$  en  $\mathbf{a} \Rightarrow$  **inverse** transformatie wordt  $\mathbf{b} = P\mathbf{a}$

$$P^t = \begin{pmatrix} p_0(0,0) & \cdots & p_0(M-1,0) & p_0(0,1) & \cdots & p_0(M-1,1) & \cdots & p_0(M-1,N-1) \\ p_1(0,0) & \cdots & p_1(M-1,0) & p_1(0,1) & \cdots & p_1(M-1,1) & \cdots & p_1(M-1,N-1) \\ \vdots & & \vdots & \vdots & & \vdots & & \vdots \\ p_{MN-1}(0,0) & & p_{MN-1}(M-1,0) & p_{MN-1}(0,1) & & p_{MN-1}(M-1,1) & & p_{MN-1}(M-1,N-1) \end{pmatrix}$$

$$\mathbf{b} = \begin{pmatrix} b(0,0) \\ \vdots \\ b(M-1,0) \\ b(0,1) \\ \vdots \\ b(M-1,1) \\ \vdots \\ b(M-1, N-1) \end{pmatrix} \quad \mathbf{a} = \begin{pmatrix} a_0 \\ \vdots \\ a_{MN-1} \end{pmatrix}$$

02b.6

## Orthogonale transformaties

Bij een orthogonale transformatie

- is de basismatrix  $P$  **orthogonaal**:  $P^t P = I$
- en zijn de basisfuncties  $p_i(x,y)$  **orthonormaal**:

$$\sum_{x=0}^{M-1} \sum_{y=0}^{N-1} p_i(x,y) p_j(x,y) = \delta_{i,j} = \begin{cases} 0 & \text{als } i \neq j \\ 1 & \text{als } i = j \end{cases}$$

Voordeel: berekenen coëfficiënten vereist geen stelsel oplossen:

$$\mathbf{b} = P\mathbf{a} \Rightarrow P^t \mathbf{b} = P^t P \mathbf{a} = \mathbf{a} \text{ of dus: } \mathbf{a} = P^t \mathbf{b}$$

$$a_i = \sum_{x=0}^{M-1} \sum_{y=0}^{N-1} p_i(x,y) b(x,y)$$

⇒ veel sneller, maar nog steeds veel te traag voor praktische toepassingen op beelden van realistische afmetingen

$$\text{Parseval geldt (cfr. Fouriertransformatie): } E = \sum_{x=0}^{M-1} \sum_{y=0}^{N-1} b^2(x,y) = \sum_{i=0}^{MN-1} a_i^2$$

⇒  $(a_i)^2$  is de bijdrage van basisfunctie  $p_i(x,y)$  in de beeldenergie

02b.7

## Projections onto basis images

$$b(x,y) = \sum_{i=0}^{MN-1} a_i p_i(x,y) \quad x = 0 \dots M-1, y = 0 \dots N-1$$

$$a_i = \langle B, P_i \rangle$$

$$\langle B, P \rangle = \sum_{m=0}^{M-1} \sum_{n=0}^{N-1} b(m,n) p^*(m,n) \quad \text{inner product}$$

The transform coefficient  $a_i$  is simply the inner product of the  $i$ -th basis image with the given image.

It is also called projection of the image on the  $i$ -th basis image

02b.8

## Eigenschappen orthogonale transformaties

Voordelen van orthogonale transformaties

- snellere berekening coëfficiënten  $a_i$  voor een gegeven beeld  $b(x,y)$
- eenvoudige kleinste-kwadratenbenadering = de beste benadering van  $b(x,y)$  met  $n < MN$  basisfuncties  $p_i(x,y)$
- ⇒ deze bekom je door de coëfficiënten  $a_i$  van de weggelaten basisfuncties 0 te stellen en de andere  $a_i$  te behouden

$$a_i = \underset{c_i}{\operatorname{argmin}} \left\| b(x,y) - \sum_{i=0}^{n-1} c_i p_i(x,y) \right\| \text{ met } \|f(x,y)\|^2 = \sum_{x=0}^{M-1} \sum_{y=0}^{N-1} |f(x,y)|^2$$

Bij niet-orthogonale basisfuncties hangen de optimale coëfficiënten af van  $n$ , het aantal basisfuncties in de benadering

- gevolg van de stelling van Parseval: de totale kwadratische afwijking tussen twee beelden  $b(x,y)$  en  $b'(x,y)$  kan worden beoordeeld adhv. hun coëfficiënten:

$$\|b(x,y) - b'(x,y)\|^2 = \sum_{i=0}^{MN-1} |a_i - a'_i|^2$$

02b.9

## Eigenschappen orthogonale transformaties

Ongecorreleerde ruis (b.v. witte gaussiaanse ruis) op een beeld wordt omgezet in ongecorreleerde afwijkingen op de coëfficiënten

- addieve ruis  $b'(x,y) = b(x,y) + n(x,y) \Rightarrow a'_i = a_i + \varepsilon_i$

$$E(n(x,y)n(x',y')) = \begin{cases} 0 \text{ als } x' \neq x \text{ of } y' \neq y \\ \sigma^2 \text{ als } x' = x \text{ en } y' = y \end{cases}$$

$$\Rightarrow E(\varepsilon_i \varepsilon_j) = \begin{cases} 0 \text{ als } i \neq j \\ \sigma^2 \text{ als } i = j \end{cases}$$

02b.10

## Scheidbare orthogonale transformaties...

We kunnen de basisfuncties ook met een dubbele index noteren:

$p_i(x,y)$  met  $0 \leq i < MN \rightarrow p_{ij}(x,y)$  met  $0 \leq i < N$  en  $0 \leq j < M$

Bij een **scheidbare** orthogonale transformatie zijn de basisfuncties van de vorm:  $p_{ij}(x,y) = q_j(x)r_i(y)$

$$\Rightarrow b(x,y) = \sum_{i=0}^{N-1} \sum_{j=0}^{M-1} a_{i,j} p_{ij}(x,y) = \sum_{i=0}^{N-1} r_i(y) \sum_{j=0}^{M-1} a_{i,j} q_j(x)$$

$$a_{i,j} = \sum_{y=0}^{N-1} r_i(y) \sum_{x=0}^{M-1} b(x,y) q_j(x)$$

2M berekeningen voor gegeven x en j  
 $\Rightarrow 2M^2N$  berekeningen in totaal

2N berekeningen voor gegeven i en j en als de binnenste som al is berekend  $\Rightarrow 2MN^2$  berekeningen in totaal

Stel  $M=N \Rightarrow$  Een scheidbare transformatie vraagt  $4N^3$  berekeningen per beeld, d.w.z.  $4N$  bewerkingen per pixel; voor een niet-scheidbare transformatie is dit  $2N^4$  per pixel en  $2N^2$  per pixel

Ook de inverse transformatie is sneller in het scheidbaar geval (controleer) 02b.11

## ...Scheidbare orthogonale transformaties

Een scheidbare orthogonale transformatie  $\mathbf{a} = P^t \mathbf{b}$  is equivalent met

- eerst een **orthogonale** transformatie  $Q^t$  toepassen op elke rij van het beeld
- dan een **orthogonale** transformatie  $R$  toepassen op elke kolom van het resultaat
- of in omgekeerde volgorde

$$a_{i,j} = \sum_{y=0}^{N-1} r_i(y) \sum_{x=0}^{M-1} b(x,y) q_j(x)$$

$\uparrow$   $\uparrow$   $\uparrow$   
 $N \times M$  matrix  $A$        $N \times M$  matrix  $B$        $M \times M$  matrix  $Q$   
 $\uparrow$   
 $N \times N$  matrix  $R^t$

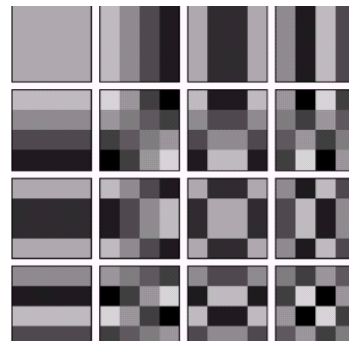
$$B_{y,x} = b(x,y) \text{ en } Q_{x,j} = q_j(x) \Rightarrow \sum_{x=0}^{M-1} b(x,y) q_j(x) = \sum_{x=0}^{M-1} B_{y,x} Q_{x,j} = (BQ)_{y,j}$$

$$R_{y,i} = r_i(y)$$

$$\mathbf{a} = P^t \mathbf{b} \Leftrightarrow A = R^t B Q \quad \text{en} \quad \mathbf{b} = P \mathbf{a} \Leftrightarrow B = R A Q^t$$

## Discrete Cosine Transform

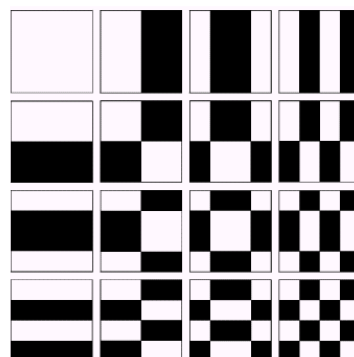
- The cosine transform has excellent energy compaction for highly correlated data
- Often used in compression (JPEG)



02b.13

## Walsh-Hadamard Transform

- Walsh-Hadamard basis functions are **binary**
- Faster than (co-)sinusoidal transforms – no multiplications involved
- Useful in digital **hardware** implementations
- Applications in **image compression** and **design of codes**  
(Hadamard coefficients of a sequence – bit reversed version of the Gray code of that sequence)



02b.14

## Excercise

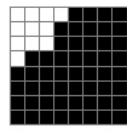
version: 23/11/2006 © A. Pizurica, Universiteit Gent, 2006

### Application of DCT im image compression

Original Trees Image



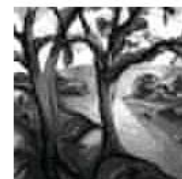
DCT transform



DCT coefficients

64  
11 Coefficients Selected

Reconstructed Image



02b.16